INFRASTRUKTUR

APLIKASI MODEL MANN-KENDALL DAN SEN'S (MAKESENS) UNTUK MENDETEKSI PERUBAHAN IKLIM

Application Model Mann-Kendall and Sen's (Makesens) to Detect Climate Change

I Wayan Sutapa

Jurusan Teknik Sipil Universitas Tadulako-Jalan Soekarno Hatta Km. 8 Palu 94118 Email: wsutapa@yahoo.com; HP. 08164304590

ABSTRACT

Various scientific studies illustrate that carbon dioxide (CO2) in the atmosphere layer that is a consequence of the result of the combustion of coal, timber, oil and gas, has increased by almost nearing 20 % since the start of the industrial revolution. Industrial area are built almost in the entire continent of the world has resulted in waste of "Greenhouse Gases (GHG) such as carbon dioxide (CO2), methane (CH4) and nitrousoksida (N2O) that caused the blanket effect. The purpose of this research was to detect the presence or absence of climate change and determine the projected climate change due to global warming. This research was conducted in the city of Palu, Central Sulawesi, using daily data and analyzed on a daily, monthly and yearly. Trend projections of climate change and changes in the method of analysis Makesens (Mann - Kendall and Sen 'S). The conclusion of this research is the change of climate in the city of Palu is characterized by slowly increasing temperature , increased precipitation and decreased evapotranspiration and the results of the calculation value of Z indicates Makesens method occurs climate trend, either positive direction (increasing) and negative (decreasing). Regression equation projected annual average temperature (as an example) is; f (year) = 0.018 (year - first year) + 26.931.

Keywords: climate change, Makesens, Palu

ABSTRAK

Berbagai p enelitian ilmiah menggambarkan bahwa k arbondioksida (CO2) di lapisan atmos fer yang menupakan konsekwensi hasil sisa pembakaran dari batu bara, kayu hutan, minyak dan gas, telah meningkat hampir mendekati angka 20% sejak dimulainya revolusi industri. Kawasan perindustrian yang dibangun hampir di seluruh daratan benua dunia telah menghasilkan limbah "Gas Rumah Kaca (GRK) seperti karbondioksida (CO2), metana (CH4) dan nitrousoksida (N2O) yang menyebabkan terjadinya efek selimut. Tujuan dari penelitian ini adalah untuk mendeteksi ada tidaknya perubahan iklim dan menentukan proyeksi perubahan iklim akibat pemanasan global. Penelitian ini dilakukan di Kota Palu, Sulawesi Tengah dengan menggunakan data hari an dan dianalisis secara harian, bulanan dan tahunan. Trend perubahan iklim dan proyeksi perubahan di analisis dengan Metode Makesens (Mann-Kendall dan Sen'S). Kesimpulan dari penelitian ini adalah terjadi perubahan iklim di Kota Palu yang ditandai dengan peningkatan temperatur secara perlahan, peningkatan curah hujan dan penurunan evapotranspirasi serta hasil perhitungan nilai Z dengan metode Makesens menandakan terjadi trend iklim, baik ke arah positif (naik) maupun negative (menurun). Persamaan garis regresi proyeksi temperatur rerata tahunan (sebagai contoh) adalah; f(tahun) = 0,018 (tahun - tahun awal) + 26,931

Kata Kunci: perubahan iklim, Makesens, Kota Palu

PENDAHULUAN

a. Latar Belakang

Fenomena telah terjadinya perubahan iklim tidak dipertentangkan. Berbagai dapat lagi ilmiah menggambark an bahwa penelitian karbondioksida (CO₂) di lapisan atmosfer yang merupakan konsekwensi hasil sisa pembakaran dari batu bara, kayu hutan, minyak dan gas, telah meningkat hampir mendekati angka 20% sejak dimulainya revolusi industri. Kawasan perindustrian yang dibangun hampir di seluruh daratan benua dunia telah menghasilkan limbah "Gas Rumah Kaca (GRK) seperti karbondiok sida (CO₂), metana (CH₄) dan nitrousoksida (N₂O) yang menyebabkan terjadinya efek selimut. Selubung GRK yang terbentuk secara alami di lapisan troposfer, kurang dari 1% dari komposisi atmosfer keseluruhan, memiliki fungsi yang vital untuk iklim di bumi. Ketika energi matahari dalam bentuk gelombang tampak masuk dan menghangatkan permukaan bumi, bumi yang jauh lebih dingin dari matahari kemudian mengemisikan energi tersebut kembali ke angkasa dalam bentuk gelombang inframerah atau thermal. GRK akan menghalangi radiasi inframerah tersebut agar tidak kembali ke angkasa. Efek inilah yang kemudian memicu peningkatan temperatur

udara bumi secara global dari tahun ke tahun secara signifikan. Fenomena ini dikenal sebagai pemanasan global yang mengakibatkan perubahan iklim di bumi.

Kenaikan temperatur telah mempercepat siklus hidrologi. Atmosfer yang lebih hangat akan menyimpan lebih banyak uap air sehingga menjadi kurang stabil dan menghasilkan lebih banyak presipitasi terutama dalam bentuk hujan lebat. Panas yang lebih besar juga mempercepat proses evaporasi. Dampak dari perubahan-perubahan tersebut dalam siklus air adalah menurunnya kuantitas dan kualitas air bersih di dunia. Sementara itu, pola angin dan jejak badai juga akan berubah. Intensitas siklon tropis akan semakin meningkat (namuntidak berpengaruh terhadap frekwensi siklon tropis), dengan kecepatan angin maksimum yang bertambah dan hujan yang semakin lebat.

Observasi lapangan dari stasiun meteorologi di Kutub Utara telah menunjukkan adanya peningkatan temperatur tahunan hingga 1°C dalam satu generasi terakhir. Dampak buruk dari meningkatnya suhu tersebut adalah melelehnya gletser (*melting of glaciers*) dan tenggelamnya bongkahan es di wilayah Alaska dan Siberia, sehingga dapat menyebabkan naiknya permukaan laut hingga mampu menenggelamkan pulau-pulau dan menimbulkan banjir besar di berbagai wilayah dataran rendah (Gunther Weller dan Patricia Anderson, 1998).

Bukti-bukti tentang perubahan iklim telah dilaporkan secara sistimatis oleh sumber-sumber resmi, diantaranya: Intergovernmental Panel on Climate Change (IPPC), The United Nations Framework Convention on Climate Change World Wide Fund (WWF) (UNFCCC) dan Indonesia. IPCC dalam laporan ke-3 (Third Assessment Report, Houghton et al., 2001 dalam Guobin Fu et al., 2007) menyatakan bahwa temperatur rerata global diproyeksikan naik menjadi 1,4 – 5,8°C antara tahun 1990 sampai 2100. Sebuah skenario perubahan iklim (WWF Indonesia dan IPCC, 1999) memperkirakan bahwa temperatur akan meningkat antara 1.3°C sampai dengan 4.6°C sampai tahun 2100 dengan trend sebesar 0.1°C -0.4°C per tahun.

Penelitian ini dibuat untuk mendeteksi ada tidaknya perubahan iklim dan menentukan proyeksi perubahan iklim akibat pemanasan global dengan menggunakan model Mann-Kendall dan Sen'S (Makesens)

b. Tinjauan Pustaka

Iklim cenderung berubah oleh ulah manusia dan aktivitas manusia seperti urbanisasi, deforestasi,

industrialisasi, dan oleh aktivitas alam seperti pergeseran kontinental, letusan gunung api, perubahan orbit bumi terhadap matahari, noda matahari dan peristiwa El Nino. Perubahan iklim baru dapat diketahui setelah periode waktu yang panjang, para ahli klimatologi menggunakan istilah kecenderungan iklim (*climatic trend*). Untuk mengetahui perubahan iklim diperlukan pemodelan iklim dengan beberapa alasan diantaranya (LAPAN, 2009):

- Keadaan planet bumi yang berubah sepanjang sejarah, misalnya awal musim hujan atau kemarau yang bergeser
- Model statistik atau empiris belum mampu memenuhi kebutuhan perkiraan perubahan musim atau iklim yang diperlukan, misalnya dalam bidang pertanian

Model statistik atau empiris juga belum sepenuhnya memperhitungkan pengaruh kegiatan manusia yang juga turut berperan dalam perubahan iklim

1) Deteksi Perubahan Iklim

Untuk mengetahui *trend* data iklim, maka ditentukan data minimum harian, rerata dan maksimum untuk data iklim. Kemudian dianalisis menggunakan Mann – Kendall analysis (Onoz dan Bayazit, 2003; Sheng dan pilon, 2004 dalam Lorena et al., 2010; Shengping Wang et al., 2008; Aksu. Hakan et al., 2010)

$$\sum_{k=1}^{n-1} \sum_{j=k+1}^{n} \operatorname{sgn}(X_{j} - X_{k})$$

$$\operatorname{cos} = \sqrt{n(n-1)(2n+5)/18}$$
(1)

 $Z = \begin{cases} (S-1)/\sigma s & \text{i.i.} jika.....S > ...0 \\ 0 & \text{jika....} S = ...0 \\ (S+1)/\sigma s & \text{jika...} S <0 \end{cases}$ (2)

Dimana X_j dan X_k adalah data nilai data "j" dan "k", j > k

Setelah dilakukan deteksi ada tidaknya trend peningkatan atau penuruan dengan uji Mann-Kendall, maka untuk mengetahui besaran trend digunakan metode non parametric Sen'S (Timo et. Al, 2002; RC Deo et. All, 2005) dengan asumsi trendnya linier, prosedurnya mulai persamaan 1 s/d 3. Kedua metode tersebut digabungkan sehingga disebut metode Makesens. f(t) = Qt + B (4) dimana: Q adalah slope dan B adalah konstanta

Untuk memperoleh slope estimasi Q dalam persamaan (4), maka pertama perlu dihitung slope untuk semua data dengan persamaan:

$$Q_i = \frac{X_j - X_k}{j - k} \tag{5}$$

dimana j > k. Jika ada "n" nilai " X_j " dalam time series, maka didapat sebanyak N=n(n-1)/2 slope estimasi Qi. Estimasi slope Sens adalah median dari N nilai Qi. Nilai N dari Qi adalah ranking dari kecil ke besar, dengan estimasi Sens adalah:

 $Q = Q_{[(N+1)/2]}$ jika N adalah ganjil

atau

$$Q = 0.5 (Q_{(N/2)} + Q_{((N+2)/2)})$$
(jika N adalah genap) (6)

Untuk memperoleh estimasi B pada persamaan (4), nilai n data dari perbedaan $(X_i - Q.ti)$ dihitung. Median dari nilai ini adalah estimasi B

2) Evapotranspirasi potensial

Perhitungan Evapotranspirasi potensial (ET₀) dibuat secara bulanan dengan menggunakan metode Penman Monteith. Metode ini lebih dapat dipercaya karena dalam perhitungannya selain membutuhkan data iklim yang benar-benar terjadi di suatu tempat (disebut sebagai data terukur), juga memasukkan faktor-faktor energi. Berikut data terukur untuk perhitungan evapotranspirasi potensial Metode Penman Monteith, yaitu:

- t, temperatur/suhu bulanan rerata (°C)
- RH, kelembaban relatif bulanan rerata (%)
- n/N, kecerahan matahari bulanan rerata (%)
- U, kecepatan angin bulanan rerata (m/detik)
- LL, letak lintang daerah yang ditinjau

Persamaan empiris dalam perhitungan evapotranspirasi potensial metode Penman Monteith ini adalah (Nugroho Hadisusanto, 2011; Allen G. Richard, 1998):

$$ET_{0} = \frac{0.408\Delta Rn + \gamma \frac{900}{(T + 273)} U_{2}(e_{s} - e_{a})}{\Delta + \gamma (1 + 0.34U_{2})}$$
(7)

dalam hal ini:

 $ET_0 = Evapotranspirasi potensial (mm/hari)$

R_n = radiasi matahari netto di atas permukaan tanaman (MJ/m²/hari)

T = suhu udara rerata (°C)

U₂ = kecepatan angin pada ketinggian 2 m dari at as permukaan laut (m/dt)

es = tekanan uap air jenuh (kPa)

$$= 0.61 \exp \frac{17,27T}{T+237,3}$$
 (8)

ea = tekananan uap air aktual (kPa) = es . RH (9)

 Δ = kemiringan kurva tekanan uap air terhadap suhu (kPa/°C)

 γ = konstanta psikometrik (kPa/°C)

 $R_n = R_{ns} - R_{nl} \tag{10}$

 R_{ns} = radiasi gelombang pendek, (MJ/m²/hari)

 R_{n1} = radiasi gelombang panjang (MJ/m²/hari)

 $R_{ns} = (1 - \alpha) R_s$ (11)

α = koefisien pantulan radiasi tajuk (nilainya 0.23 sampai 0.25)

 R_s = radiasi matahari (MJ/m²/hari)

$$= \left(0,25 + 0,50 \times \frac{n}{N}\right) \times Ra \tag{12}$$

 R_a = matahari ekstraterestrial (MJ/m²/hari)

= $37.6 \text{ dr } (\text{ws } \sin \Phi \sin \delta + \cos \Phi \cos \delta \sin \text{ ws})$ (13)

n = rerata lamanya matahari bersinar (jam)

N = lama maksimum matahari bersinar dalam satu hari (jam)

ws = sudut saat matahari terbenam (rad)

 $= \arccos\left(-\tan\Phi\tan\delta\right) \tag{14}$

dr = jarak relative antara bumi dan matahari= 1 + 0,033 cos(0,0172J) (15)

 δ = sudut deklinasi matahari= 0,409 $\sin(0.0172J - 1.39)$

 Φ = letak lintang (rad), jika berada pada lintang utara nilainya positif pada lintang selatan nilainya negative

J = nomor urut hari dalam setahun

 $J_{bu \, lanan} = Integer (30,42 \, M - 15,23)$ (17)

 $J_{harian} = Integer (275 (M/9) - 30 + D) - 2$ (18)

M = bulan (1 - 12)

D = hari dalam bulan (1 - 31)

Jika tahun normal dan M < 3, maka nilai J ditambah nilai 2, Jika tahun kabisat dan M > 2, J ditambah nilai 1

 $\dot{\varepsilon}$ = emisivitas atmosfer

$$= 0.34 - 0.14 \cdot ea^{0.5}$$
 (19)

 σ = konstanta Stefan-Boltzman = 4,90 x 10⁻⁹ MJ/m²/K⁴/hari

 T_k = suhu udara (${}^{o}K$)

f = faktor penutupan awan

$$= 0.9 (n/N) + 0.1$$
 (20)

Δ = kemiringan kurva tekanan uap air terhadap suhu udara

$$= \frac{4098.es}{(T+237,3)^2}$$
 (21)

$$\gamma = 0.00163 \frac{P}{\lambda} \tag{22}$$

$$P = tekanan atmosfer (kPa)$$

$$= 101.3x \left(\frac{293 - 0.0065z}{293}\right)^{5.26} \tag{23}$$

z = elevasi(m)

 λ = panas laten untuk penguapan (MJ/kg)

$$= 2,501 - (2,361 \times 10^{-3}) T$$
 (24)

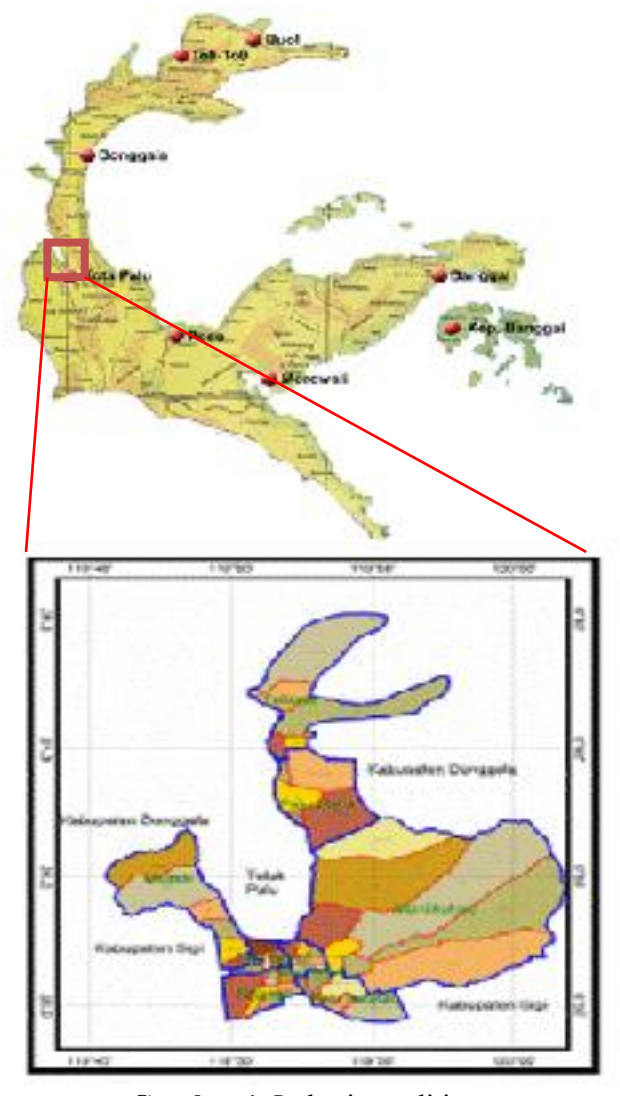
$$R_{n1} = \epsilon \cdot \sigma \cdot T_k^4 \tag{25}$$

$$U_2 = U_z \left(\frac{4,87}{\ln(67,8z-5,42)} \right)$$

 U_z = kecepatan angin pada ketingggian z (m/dt)

METO DE PENELITIAN

Penelitian ini dilakukan di Kota Palu Provinsi Sulawesi Tengah, yang secara geografis terletak antara 00^{0} 35'- 00^{0} 56' LS dan 119^{0} 45' -121^{0} 01' BT, dengan luas wilayah 395,06 km². Lokasi penelitian disajikan pada **Gambar 1**.

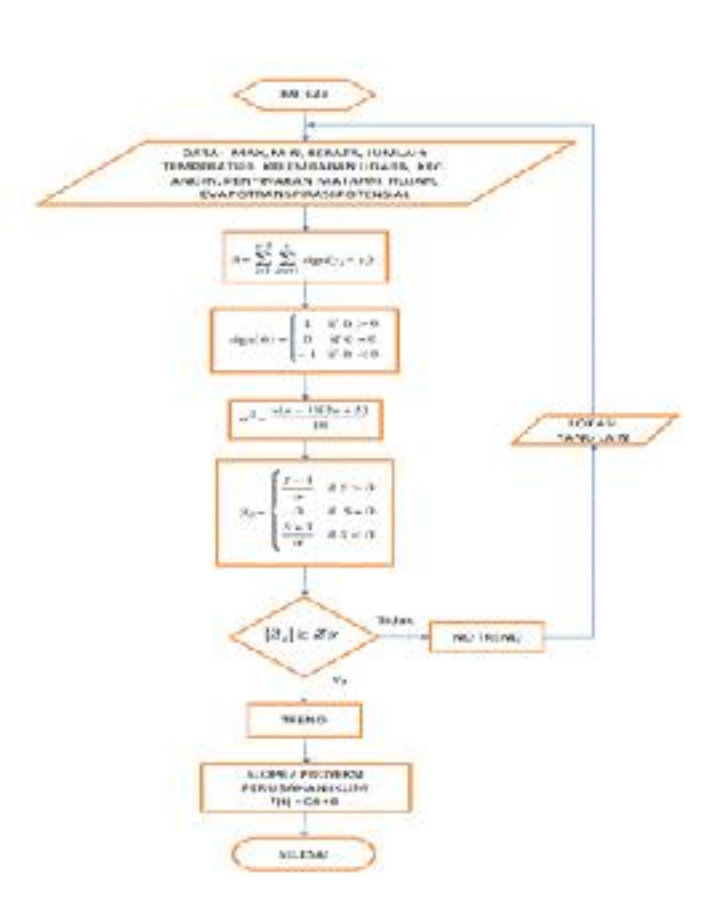


Gambar 1. Lokasi penelitian

Data yang digunakan dalam penelitian ini berupa data sekunder dari stasiun Bandara Mutiara Palu yang terdiri dari: 1) Data hujan harian maksimum (1990 – 2013); 2) Data hujan bulanan (1990 – 2013); 3) Data klimatologi (temperatur, kelembaban udara, radiasi matahari, kecepatan angin (1980-2013).

Untuk menyelesaikan penelitian ini dapat dilakukan tahapan berikut:

- 1) Menghitung evapotranspirasi potensial (ETo) dilakukan dengan bantuan software CROPWAT 8 for Windows. Data yang dibutuhkan adalah temperatur (T), kelembaban relatif (RH), kecepatan angin (V) dan penyinaran matahari (SH).
- 2) Menghitung trend data iklim dan hujan dengan menggunakan model Mann – Kendall. Data yang digunakan berupa data temperatur udara, kelembaban udara, kecepangan angin, penyinaran matahari, hujan harian maksimum dan hujan bulanan.
- 3) Setelah dilakukan deteksi ada tidaknya trend



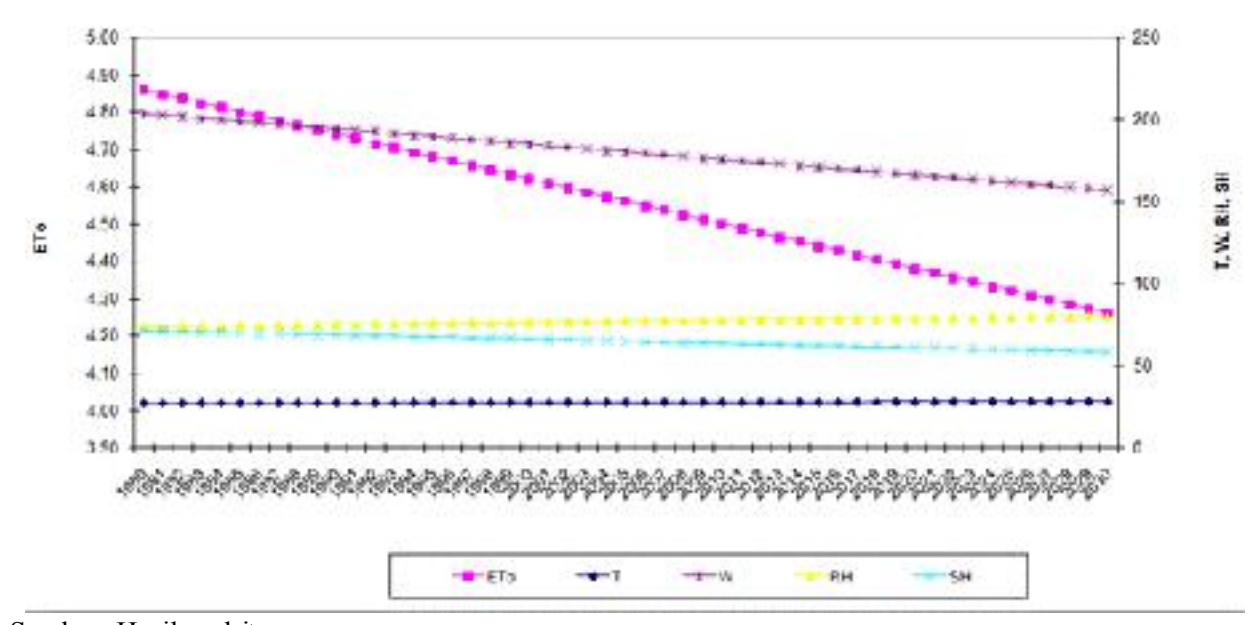
Gambar 2. Algoritma trend iklim dan proyeksi perubahannya

HASIL DAN PEMBAHASAN

Hasil perhitungan evapotranspirasi potensial dengan metode Penman Monteith dengan bantuan software Cropwat-8 for windows disajikan pada Tabel 1 dan grafik hubungan antara evapotranspirasi potensial (ETo) dengan temperatur (T), kecepatan angin (V), kelembaban udara (RH) dan penyinaran matahari (SH) disajikan pada **Gambar 3**.

Tabel 1. Rekapitulasi hasil perhitungan evapotranspirasi potensial

No.	Tahun	JAN	PEB	MAR	APR	IVEI	JUN	JUL	AUS	SEP	OKI	MOH	DES	RERATA
1	1980	4.46	4.34	4.60	4.50	4.62	3.56	4.65	4.54	5.79	3.24	5.03	4.47	4.72
2	1981	4.7	4.75	5.48	4.78	4.78	4.38	4.35	5,47	4.72	4.93	4.53	4.37	4.77
3	1982	6.57	4.38	6.66	4.42	4.76	4.44	3.35	5 64	3.38	5.26	5.77	3.2	5.70
4	1983	5.02	5.69	5.83	5.59	4.41	5.21	3,47	4.69	5.39	5.06	3.1	4.63	5.09
5	1994	4.89	4.07	5.02	4.66	4.62	3.5	2.54	3.04	4.46	5.24	5.57	5.08	1.00
6	1985	4.77	5.11	5.11	5,02	4.56	4.32	3.88	4.31	4.76	4.86	4.72	4.83	4,69
7	1966	4.54	4.00	4.51	5.46	5.24	4.40	4.91	5.08	5.89	5.40	4.63	5.25	5.12
8	1987	4.26	5.02	5.8	5.52	4.88	5.62	5.97	5.7	5.53	7.06	5.68	5.31	5.54
9	1998	5.73	4.79	5.2	5.54	6.5	4.14	1.76	4.74	4.76	1.69	2.64	3.57	0.65
10	1999	4.4	4.23	A.A.	4,65	5.17	4.15	4.04	4.5	4.34	4.65	4,54	4,85	9.54
11	1990	4.12	5.24	5.08	4.9	4.84	4.57	4.54	4.82	5.11	5.05	1.53	1.25	4.75
12	1991	4.11	4.06	5.05	4.75	3.55	4.32	4.23	S 15	5.75	5.36	5.17	4.87	4.73
13	1992	4.88	4.93	5,35	5.11	4.76	4.13	4.03	5.02	4.87	4.96	4.73	4.23	4.74
14	1995	4.59	4.43	4.97	4.45	4.25	4.29	4.23	518	5.47	3.35	4.65	4.72	4.74
15	1994	4.81	4.85	3.35	4.19	4.11	3.7	4.38	4.83	5.27	5.73	5.38	0.17	4.57
15	1565	4.41	4.16	4.87	4.75	4.32	3.62	1.67	1.6	4.52	1.64	4.18	8.75	4.15
17	1996	4	4.04	5.31	4,43	4,52	3.78	2.78	4.45	4.43	4.45	4.28	3.71	4.27
15	1997	4.1	3.85	AAG	4.62	4.62	5	4.32	5.63	5.0	3.65	4.92	4.65	4.02
19	1998	5.28	5.52	5,94	4,09	4.34	3.94	4	4.03	4.56	4.74	3.71	4.12	4.57
73	1995	2.58	4.41	4.46	4.61	4.15	3.76	147	4.58	4.16	3.67	4.17	4.62	4.17
21.	2000	4.25	4.52	4.85	4.85	4.86	4.02	4.2	4.61	5.48	4.87	4.61	0.35	4.63
22	2001	4.54	4.85	4.89	4.84	4.31	4.25	4.63	5.22	3.26	5.09	1.72	458	4.72
23	2002	4.48	4.8	4.8	5.01	4.54	4.33	4.92	5.56	5.8	5.17	5.03	5.1	5.05
24	2003	4.57	4.67	5	4.52	4.57	5.1	4.49	5.15	5.31	5.66	5.34	6.14	4.95
25	2004	4.78	4.21	5.05	4.88	4.45	4.72	4.11	3.49	3.45	5.84	5.43	5.1	5.00
25.	2005	4.72	4.64	5.46	4.48	4.01	3.50	4.06	501	501	4.95	4.05	3.65	4.52
D.	2006	4.5	4.59	4.26	3.98	4.47	4.74	5.1	5.22	5.3	5.12	5.35	5.25	9.75
28	2007	4.25	4.53	4.7	4.37	4.54	4.23	4.1	401	4.25	5.21	5,12	0.52	4.45
25	2008	4.2	4.24	4.25	4.28	3.52	3.84	3.31	3.67	4.47	4.5	4.61	3.93	4.11
30	2009	4.38	4.21	4.56	455	4,29	4.04	4.25	5.23	6.08	5.17	5.05	4.65	4.72
31	2030	4.24	5.14	5.44	4.85	4.48	4.11	3.55	4.14	4.58	4.55	4.74	0.14	4.53
32	2011	4.23	3.86	4.08	4.54	4.23	4.02	411	444	4.28	5.02	4.39	3.83	4.25
11	2012	1.16	4.66	4.59	4.56	4.26	4.16	3.61	4.26	4.91	5.14	4.62	9.52	2.51
34	2013	4.36	4.39	5.35	4,68	4.67	4.39	3.52	4.02	3.92	4.62	4,54	4.22	4.31



Sumber: Hasil perhitungan

Gambar 3. Grafik hubungan antara ET o dengan T, V, RH, SH

Dari **Tabel 1** dapat dilihat bahwa besarnya evapotranspirasi potensial Kota Palu berkisar antara 3.31 mm/hari (Juli 2008) sampai 7.0 mm/hari (Oktober 1987) dan dengan rerata antara 4,11 – 5,64 mm/hari. Pada Gambar 3 memperlihatkan bahwa terjadi trend penurunan evapotranspirasi potensial (ETo) dari tahun pengamatan (1980 – 2013) dan berlanjut sampai proyeksi tahun 2030. ETo ini berbanding lurus dengan kecepatan angin dan lama penyinaran matahari (trend menurun) berbanding terbalik dengan temperatur (T) dan kelembaban udara (RH) (trend naik tetapi tidak terlalu tajam). Secara umum semestinya bahwa kenaikan temperatur akan berbanding lurus dengan naiknya penguapan. Namun dalam hal ini, iika diperhatikan persamaan (7) dimana ETo tidak berbanding lurus dengan temperatur (T) tetapi berbanding lurus dengan penyinaran matahari (SH) dan kelembaban udara (RH). Hal ini menandakan bahwa penguapan dipengaruhi oleh semua faktor iklim

Hasil perhitungan trend iklim dengan bantuan software Makesens disajikan pada Tabel 2, 3 dan 4 berikut. Trend iklim menggunakan taraf signifikan $(\alpha)=5\%$ dimana dari tabel Z normal didapat $Z_{0,05}=1,96$. Dengan harga ini maka penentuan ada tidaknya trend/perubahan iklim dengan ketentuan: 1). Jika harga muktlak $\left| Z_{hit} \right| > Z\alpha$ berarti ada trend dan signifikan; 2). Jika $Z_{hit} < Z\alpha$ berarti ada trend tetapi tidak signifikan; 3). Jika $Z_{hit}=0$ berarti tidak ada trend. Tanda positif Z_{hitung} menandakan trend naik dan tanda negative Z_{hitung} menandakan terjadi trend menurun. Dengan kriteria ini maka ada tidaknya trend dan naik turunnya trend data iklim dan hujan dapat diuraikan sebagai berikut:

- Temperatur minimum tahunan, terjadi trend naik dan signifikan (Positif and Yes Significans, PYS)
- Temperatur rerata tahunan, terjadi trend naik dan signifikan (Positif ans Yes Significans, PYS)
- Kecepatan angin rerata tahunan, terjadi trend menurun tetapi tidak signifikan(Negatif and No Significans, NNS)
- Kecepatan angin maksimum tahunan, terjadi trend menurun tetapi tidak signifikan (Negatif ans No Significans, NNS)

- 5) Penyinaran matahari rerata tahunan, terjadi trend menurun dan signifikan (Negatif and Yes Significans, NYS)
- 6) Kelembaban relative minimum tahunan, terjadi trend positif tetapi tidak signifikan (Positif but No Significans, PNS)
- 7) Kelembaban relative rerata tahunan, terjadi trend positif dan signifikan (Positif and Yes Significans, PYS)
- 8) Kelembaban relative maksimum tahunan, terjadi trend positif tetapi tidak signifikan (Positif but No Significans, PNS)
- 9) Evapotranspirasi potensial rerata tahunan, terjadi trend negative dan signifikan (Negatif and Yes Significans, NYS)
- 10) Hujan harian maksimum tahunan, terjadi trend positif tetapi tidak signifikan (Positif No Signifikan, PNS)
- 11) Hujan retata bulanan, terjadi trend positif tetapi tidak signifikan (Positif but No Signifikan, PNS)
- 12) Hujan tahunan, terjadi trend positif tetapi tidak signifikan (Positif but No Signifikan, PNS)

Setelah dideteksi ada tidak trend iklim dengan metode Mann-Kendall, maka untuk menentukan besaran trend digunakan metode Sen's dengan asumsi trendnya linier. Hasil perhitungan besarnya trend disajikan pada Tabel 3. Selanjutnya dari parameter trend ini dapat dibuat persamaan garis regresi yang mengikuti ketentuan: f(tahun) = Q (tahun - tahun awal) + B. Sebagai contoh untuk temperatur rerata tahunan, dari Tabel 3 didapat nilai Q = 0.018 dan B = 26.931, maka persamaan garis regresinya menjadi: f(tahun) = 0.018 (tahun - tahun awal) + 26,931, dimana f(tahun): merupakan data temperatur rerata dari tahun yang hendak dicari, misalnya tahun 2030; tahun awal: merupakan tahun awal pengamatan (1980). Jadi persamaan garis regresinya: F(2030) = 0.018 (2030 - 1980) + 26.931= 27,831. Artinya temperatur rerata tahun 2030 ⁰C. Dengan menurun Sen'S adalah 27,831 menggunakan persamaan regresi pada Tabel 4, maka dapat dihitung besaran data iklim dan hujan menurut Sen's. Hasil perhitungannya disajikan pada Tabel 5 (sebagai contoh).

Mai "2" dan Trend Uralan Awal Akhir n Peb Mar Apr ags Sep Ckt Nop Des .hum Jud Temperatur, T (°C) 27. 2 16 159 1.50 1 97 125 20 2.20 1960 2013 34 0.8 Test Z. Min Bularian PYS PYS PNS PNS PNS FYS PYS PYS PNS PYS PYS FNE 1980 2013 34 Total Z. Min Cahunan 1960 2013 31 0.83 2.88 Test Z. Rerata Bulanen PNS PNS PNS PNS PNS PNS PYS 1900 2013 34 Test Z. Becata Tahuran 0.23 | 1.59 | 0.8 | 1.47 1960 2013 0.33 | 2.44 | 0.59 | 2.23 | 1.84 | 0.54 | 0.96 Û 34 Tota 7 Make Busham THE TWE THE THE THE THE THE PNS PNS PNS PNS 1960 2013 34 Tost Z. Maks Tahunan. Kee, Angin, W (km/hr) -1.06 -0.72 -0.75 -1.3 -1.12 -0.99 -0.44 -0.99 -0.47 -1.07 -1.28 -1.38 Test Z. Rorsta Bulanan 1960 2013 34 Test Z. Rarata Tehusan 980 2013 40.45 | 40.00 | 40.23 | 41.02 | 41.2 | 40.95 | 40.56 | 41.01 | 41.00 | 40.42 | 41.62 | 40.62 Test 7, Maks Bulanen CTUSC GHAVE 21.7 1.29 Tost Z. Maks Tahunan 1960 2013 Penyinaran Matshari, SH 1948 165 | -107 | -187 | -242 | -107 | -093 | -109 | -133 | -104 | -150 | -198 | -216 Tost Z. Rorata Bulanan 1960 2313 34 NHE NHE NHE MYE MYE .26 Tost Z. Rorata Tahuhan 1960 2013 34 Kelembaban Relatif, RH PYS PRS PRS PRS PRS 2010 1900 34 Test Z. Min Brianum PNS PNS PNS PNS PNS 1960 2015 34 0.45 Tost Z. Min Fanunan 2013 34 1.32 1.19 PNS PNS 2.14 1,62 1,32 233 1.72 1.32 Toot Z. Rorota Bulance PNS PNS PNS PYS FMS. PNS PNS PNS PNS 1960 2013 34 2.44 Test Z. Recata Tehunan FYS 1960 2013 1.05 -0.28 0.49 -0.10 0.33 02 0.63 -0.15 0.21 -0.36 34 0.1 -0.E2 Test Z. Meks Bounar 960 2013 34 Lock Z. Milke Tahunan mm/hr) Evaporani poternisi (FP 2013 93 -4.07 34 1900 Test Z Revota Bulanen. 1960 2013 Test Z. Rarata Tahunan Hujan Harjan Maksimum (mm) 2013 24 0.12 0.82 1.89 -3.03 -0.5 Test Z. Mex. Bulanan 1950 2013 24 Test Z. Mex. Tehnman Hujen Dulanen (rem) 1.54 1.76 1.56 0.27 0.65 1960 2013 1.31 0.37 1.42 1.74 Test Z. Bulanani 1900 2013 24 Test Z. Tehunen 1990 2013 24 1.72 Tust Z. Rorata Bulanan PNE Keterangan PYS - Trend naik dan signifikan. $Z_{ac} + Z_{cb}$ Year a graficant (YE) MYS = PNS -

No significant (N3)

No trend (NT)

NYS =

Tabel 2. Rekapitulasi trend iklim dengan metode Makesens

NT = Tidak additions Sumber: Hasil perhitungan $Z_{\rm tot} \sim Z_{\rm tot}$

Tabel Z diandar normali

Z_{0.50} = 1.96 c = 5%

PNS - Trend new tetapi tidax Signifikan

NPSE - Trend furun totapi bidak Signakan

MYS = Trend turun dan signifikan

Tabel 3. Parameter Makesens

Bulan	Parameter Seas																	
	Subu Minimirum			Suhu Kerata		Subu Maksimum			Kec. Angin Maks			Kea Angia Resata			Prayinarus Matakasi Rerata			
200	B	Q	2	R	Q	Z	R	Q	Z	B	Q	2	B	Q	2	R	Q	Z
7an	20.640	9,040	1.970	26,498	0.024	2.375	35.0%	0.005	9.325	811,960	0.000	9.49	202,027	0.779	1.019	51,989	0.305	1.352
Feb	20.472	0,016	2.707	26,500	0.000	0.900	31.400	0.067	2.438	888,560	0.000	9.033	210.940	0.551	0.715	53,728	0.237	1.072
Mar	20.229	0.035	2 158	26.911	0.016	0.829	35.007	0.015	9.586	888,560	0.000	-0.231	220.161	0.358	0.748	71.675	0.340	1.866
Apr.	21.350	9.027	1.517	27.050	0.000	0.212	34 620	0.061	2.226	888,560	0.000	-1,324	208,671	-1.131	-1.303	73.853	-0.298	2.120
Mei	21.351	0,026	1.253	27,459	0.013	1.497	35.055	0.041	1.836	914.147	-2.963	-1.200	200,880	0.888	-1.122	71,677	-0.199	-1.574
Fan	23.645	0.038	3 599	26,900	0,000	0.033	34 886	0.013	0.537	888.560	0.000	-0.947	178,420	-0.661	-0.991	50.505	-0.175	-0.927
Fal	23.925	0.007	0.802	26.117	0.033	1.921	34 676	0.016	0.561	836,873	0.000	-0.562	171,001	4,464	-0.440	50,789	-0.205	-1.033
Age	20.382	0,643	3.256	26.594	0.021	1.333	35.200	0.000	0,000	955,836	-3.563	-1.366	196,521	-0,646	-0.994	80.333	-0.273	-1,332
Sec	19,720	0,074	3.516	26,956	0.013	0.333	35.582	0.007	0.227	980.964	-3.256	-1.883	215,928	4.552	-0.472	78.210	-0.280	-1.040
Ola	21,150	0,033	1.562	27,481	0.015	1.204	\$5.433	0.033	1,554	888,560	0.000	-0.422	206,114	4.543	-1.075	77,001	-0.251	-1.551
Nep	20,928	0.041	2.700	27.277	0.011	0.330	35.023	0.013	0,755	905,850	-1.778	-1.601	208,429	-1.070	-1.285	70,885	-0.105	-0.975
Des	20,760	0,040	2.251	26.583	0.033	2.244	34.625	0.035	1.466	220,264	0.000	0,620	201.516	-0.50+	-1.284	50.143	-0.375	-2.150
Min	13.863	0.000	2.554	12000	33.50		100000	0000			0.53			1000		1000	1000	53.150
Resetta		775.00		26,931	0.013	2.433		1000	100	10200			200,785	-0.536	-1.265	71.143	-0.255	-2.595
Maks							36.217	0.048	2,699	1122,739	+1.648	-1.293						-
Faralah		8													1	5		

	L.								Paramet	er Sens								
Bulan	Kalembeban Cenen Make			Relembakan Udara Min			Kellenbahan Udara Kerata			Evapotranspirari Kerata			Hujan Haran Maka			Hujan Bulanan		
	В	Q	L	H	Q	Z	В	Q	Z	В	Q	2	В	Q	2	В	Q	Z
Jan	94,050	00041	1,053	40,100	0.200	1.056	74,625	9.225	2.131	4.73%	-0.014	-2347	12,402	2,146	0.571	22,425	1,383	1.315
Peb	99.550	0.000	0.778	44,000	0.000	0.000	75,329	0.0%	0.521	4.763	-0.011	-1.457	13.157	2.016	0.124	25,791	0.221	0.278
3-Sor	91.000	0.000	0.490	43,438	0.083	0.341	73.768	0.116	1,421	5.150	0.015	1.453	12.113	0.228	0.319	35.633	0.301	0.615
Apr	95.000	0.000	0.153	39.558	0.080	0.929	74,723	0.083	1.321	4.970	0.011	1.601	7,400	0.900	1.386	31,789	1.896	1.533
Mai	95.000	0.000	0.328	41,845	0.245	1.000	73,866	0.161	2.379	4.733	-0.012	-2.136	30.604	-6.303	-3,029	74.252	-1.655	-1.761
Jun	95.000	0.000	0.099	42.122	0.188	0.910	74,865	0.116	1.320	4.320	-0.00€	-0.934	7.038	0.785	1,261	34,223	1.968	1,563
Jul	94 500	0.000	-0.523	43.563	0.073	0.399	76.154	0.109	1.160	4,335	-0.010	-1.068	18.035	0.278	0.724	59,654	0.361	0.273
Ags	92,500	0.000	0.195	33,750	0.500	2.128	71.333	0.167	1.717	5.097	-0.020	+1.453	3.401	0.631	1.955	14.875	1.755	1.413
Sep	92.003	0.009	0.831	38.275	0.230	1.186	70.658	0.158	1.413	5,458	-0.018	-1.453	5.714	0.749	1.553	17.850	2.500	1.737
Ok:	93.000	0.000	-0.147	46.988	0.245	1 136	70.875	0.138	1.431	5.303	-0.011	+1 260	18.611	-0.343	-0.457	35.111	0.027	0.099
Mag	95 000	0.000	0.212	46 774	0.282	1.554	75.284	6.117	1.319	4 962	-0.013	+1.423	11.67%	0.222	1.557	27 63/5	1.221	2.315
Des	94 000	9:000	-0.181	41.317	0.136	0.844	74 745	6.188	0.541	4.574	-0.016	+1.804	17,700	0.000	-0 149	17 198	0.019	0.497
Min	0.000	7	1000	33,341	0.074	0.455	UK SAN	1000		1024	95.55	1100	25000	A460	200	10000	12.42	100
Rerata				150010	76350	17500	73,661	6.132	2.482	4.561	+0.012	+2,654				44,349	0.506	1.712
bisks	98 000	0.000	0.997							1.0000111			36.304	1.168	1.752			
Jumish															3	532.189	9.677	1.712

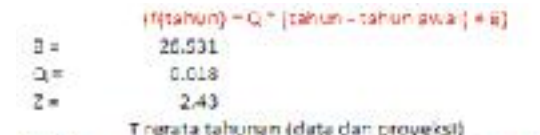
	Urajan	0.67	The Charles of Boston Ex-	Rerata Perubahan			
No.	Uraian	Satuan	Persamaan Proyeksi	(°C, mm, km/hr, %)	(%)		
1	Suhu Min Tahunan	°C	f(tahun)=0,053(tahun-tahun awal)+18,863	0.06	0.31		
2	Suhu Rerata Tahunan	°C	f(talum)=0,018(talum-tahun awal)+26,931	0.02	0.07		
3	Suhu Maks Tahunan	°c	f(tahun)=0,048(tahun-tahun awal)+36,217	0.05	0.13		
4	Kec. Angin Rerata Tahunan	km hr	f(tahun)=-0.936(tahun-tahun awal)+203,785	-0.94	0.52		
5	Kee, Angin Maks Tahunan	km/hr	f(tahun)=-1,295(tahun-tahun awal)+1122,739	-1.65	0.15		
6	Penyinaran Matahari Rerata Tahman	76	f(tahun)=-0,253(tahun-tahun awal)171,148	-0 25	0 39		
7	Kelembaban Udara Min Tahunan	96	f(tahun)=0,074(tahun-tahun awal)+33,741	0.07	0.21		
3	Kelembaban Udara Rerata Talaman	0.	f(tahun)=0,132(tahun-tahun awal)+73,661	0.13	0.17		
9	Kelembaban Udara Maks Tahunan	0.6	f(tahun)=0,000(tahun-tahun awal)+98,00	0.00	0.00		
10	Evapotranspirasi Rerata Tahunen	mm	f(tahun)=-0.012(tahun-tahun awal)+4,861	-0.01	0.26		
11	Hujan Harian Maks Tahunan	mm	f(tahun)=1,153(tahun-tahun awal)+36,304	1.16	1.89		
12	Hujao Takonao	10300	f(tahun)=9,677(tahun-tahun awal)+532,189	9.69	1.28		

Sumber: Hasil perhitungan

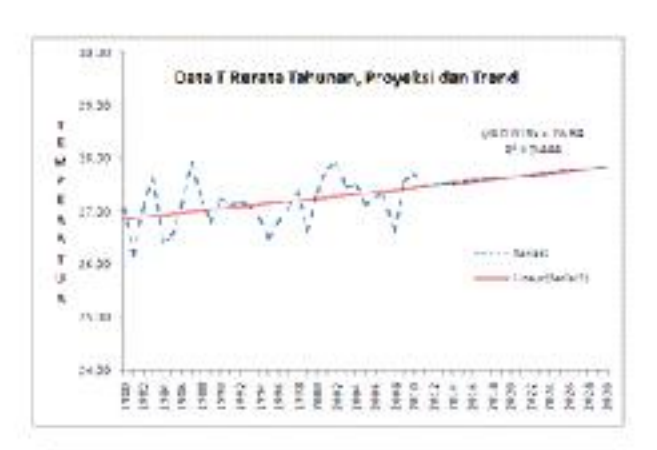
Tabel 5. Data dan hasil perhitungan temperature rerata tahunan Metode Sen'S

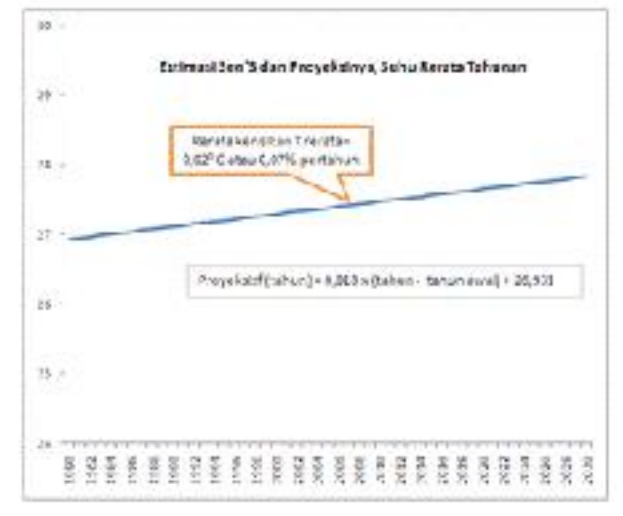
0.9

0.56



Tehun	Data	Tahun	San's	Parudahan				
1580	27.08	1980	26.93	27.00				
1981	25.17	1981	26.55	0.02	0.07%			
1587	27.07	1982	26.97	0.02	0.02%			
1583	22.56	1983	25.59	0.02	0.07%			
1984	25.41	1984	27.00	0.02	0.07%			
15%5	25.56	1985	20.02	0.02	0.07%			
1985	27.10	1985	27.04	0.02	0.07%			
1987	27.93	1987	27.06	0.02	0.07%			
1063	27.25	1900	27.00	0.02	0.07%			
1589	25.79	1989	27.09	0.02	0.07%			
1590	27.20	1990	27.11	0.02	0.07%			
1991	27.13	1991	27.13	0.02	0.07%			
1992	27.16	1992	27.15	0.02	0.07%			
1695	27.15	1995	27.17	0.02	0.07%			
1594	25.89	1994	27.18	0.02	0.07%			
1995	25.49	1995	27.20	0.02	0.07%			
1570	25.81	1995	27.22	0.02	0.07%			
1997	27.08	1997	27.24	0.02	0.07%			
1998	27.42	1998	27.26	0.02	0.07%			
1999	25.53	1999	27.27	0.02	0.0796			
2000	27.34	2000	27.29	0.02	0.07%			
2001	27.02	2001	27.31	0.02	0.0796			
2002	27.91	2002	27.33	0.02	0.07%			
2003	27.46	2003	27.35	0.02	0.07%			
2004	27.51	2004	27.36	0.02	0.07%			
2005	27.13	2005	27.38	0.02	0.07%			
2005	27.29	2005	27.40	0.02	0.07%			
207	27.29	2002	27,42	0.02	0.07%			
2003	25.58	2002	27.44	0.02	0.07%			
204	N28900	25000	100000000	323333	0.07%			
2010	27.57	2009	27.45	0.02	100000000000000000000000000000000000000			
Value of the same	27.71	2,000	27.47	0.02	0.07%			
2011	27.48	2011	27.49	0.02	0.07%			
2012	27.51	2012	27,51	0.02	0.07%			
2013	27.53	2013	27,53	0.02	0.07%			
2014	27.54	2014	27,54	0.02	0.07%			
2015	27.56	2015	27.56	0.02	0.07%			
2015	27,58	2015	27.58	0.02	0.07%			
2017	27.50	2017	27.60	0.02	0.07%			
2018	27.52	2018	27.62	0.02	0.07%			
2019	27.65	2019	27.63	0.02	0.07%			
2020	22,55	2020	27.65	0.02	0.02%			
2021	27.67	2021	27.67	0.02	0.07%			
2022	27.69	2022	27.69	0.02	0.07%			
2023	27.71	2023	27.71	0.02	0.05%			
2024	27.72	2024	25.52	0.02	0.05%			
2025	27.74	2025	27.74	0.02	0.05%			
2025	27.76	2025	27.76	0.02	0.05%			
2027	27.78	2027	27.78	0.02	0.05%			
2028	27.80	2025	27.80	0.02	0.05%			
2029	27,81	2029	27.E1	0.02	0.05%			
2030	27.85	2050	27.85	0.02	0.05%			
		Her	oto	0.02	0.07%			





Sumber: Hasil perhitungan

Kenaikan suhu dari tahun 1980-2050

Kenaikan suhu dan tahun 1980-2011

KESIMPULAN

Berdasarkan data pengukuran harian dan dianalisis secara harian, bulanan dan tahunan dalam

periode 1980 sampai 2013, dapat disimpulkan bahwa telah terjadi perubahan iklim di Kota Palu yang ditandai dengan peningkatan temperatur secara perlahan, peningkatan curah hujan dan penurunan evapotranspirasi, serta hasil perhitungan nilai Z dengan metode Mann-Kendall dan Sen'S (Makesens) menandakan terjadi trend iklim, baik ke arah positif (naik) maupun negative (menurun). Persamaan garis proyeksi temperatur rerata tahunan (sebagai contoh) adalah; f(tahun) = 0.018 (tahun - tahun awal) + 26.931.

UCAPAN TERIMA KASIH

Penulis mengucapkan terima kasih kepada Kantor Badan Meteorologi dan Geofisika (BMG), Bandara Mutiara, Palu, Sulawesi Tengah yang telah memberikan data hidroklimatologi untuk mendukung penelitian ini

DAFTAR PUSTAKA

- Aksu Hakan, Kuşçu. Savaş, Şimşek, Osman, 2010, Trend Analysis of Hydrometeorological Parameters in Climate Regions of Turkey, Jurnal BALWOIS 2010 – Ohrid, Republic of Macedonia. diakses 17 Mei 2012
- Allen G., Richard, 1998, Crop Evapotranspiration-Guidelines for Computing Crop Water Requirement-FAO Irrigation and Drainage Paper No. 56, Food Agriculture Organization of the United Nation, Roma
- Guobin FU, Michael E.B., Shulin Chen, 2007, Impacts of Climate Change on Regional Hydrological Regims in the Spokane River Watershed, http://www.ascelibrary.org, Journal of Hydrologic Engineering. diakses 19 Oktober 2011
- Gunther Weller dan Patricia Anderson, 1998, Implications of Global Climate Change in Alaska and Bering Sea Regions, Center for Global Change and Arctic System Research. University of Alaska Fairbanks.
- Kendall, M.G., 2005, Mann Kendall Analysis for the Fort Ord Site, http://dubaobien.vn /dhk htn/stores/files/0907_Tailieu_CuaLo/TL TK/MANN-KENDALL%20ANALYSIS.pdf. diakses pada tanggal 4 Desember 2010
- LAPAN (Lembaga Penerbangan dan Antariksa). 2009. *Pengantar Pemodelan Iklim*, Bidang Pemodelan Iklim. Pusat Pemanfaatan Sains Atmosfer dan Iklim LAPAN, Bandung
- Lorena Liuzzo, Leonardo V. N., Enrique R. V., and Goffreda L. L., 2010, Basin-Scale Water Resources Assessment in Oklahoma Under Synthetic Climate Change Scenario Using a Fully Distributed Hydrologic Model, http://www.ascelibrary.org, Journal of

- Hydrologic Engineering, diakses 19 Oktober 2011
- Nugroho Hadisusanto, 2011, *Aplikasi Hidrologi*, Cetakan ke-1, Jogja Mediautama, Malang
- Onoz, B. & Bayazit, M. 2002, *The Power of Statistical Test for Trend Detection*, http://journals.tubitak.gov.tr/engineering/issue s/muh-03-27-4/muh-27-4-5-0206-6.pdf, diakses pada tanggal 27 Nopember 2010
- R C Deo, C A McAlpines, J Syktus, H A McGowan and Phinn. 2005, On Australian Heat Waves: Time Series Analysis of Extreme Temperature Event in Australia, 1950-2005, Centre for Remote Sensing and Spatial Information Sciences School of Geography, Planning and Architecture The University of Queensland, Brisbane 4072 Australia, Climate Change Centre of Excellence Queensland Department of Natural Resources and Water 80 Meiers Rd, Indooroopilly 4068, Australia
- Sutapa, I Wayan. 2013, *Pengaruh Perubahan Iklim Terhadap Pemodelan Debit*, Disertasi, Universitas Brawijaya. Malang.
- Shengping Wang, Zhiqiang Zhang, Ge Sun, Steven G. McNulty, Huayong Zhang, Jianlao Li, and Manliang Zhang. 2008. Long-Term Streamflow Response to Climatic Variability in the Loess Plateau, China, Journal of the American Water Resources Association (JAWRA) 44(5):1098-1107. Diakses tanggal 7 Juni 2012
- Timo, Anu Maatta, Pia Anttila, Tuija Ruoho Airola, Toni Amnell. 2002, Detecting Trends of Annual of Atmospheric Pollutants by the Mann-Kendall Test and Sen's Slope Estimates, Finnish Meteorological Institute. Helsingki

WWF Indonesia dan IPCC, 1999